



جذب یون نیکل و کادمیم از محلول آبی توسط نانوفولرن اصلاح شده با تتراهیدروفوران

لیلا مهدویان

گروه شیمی، دانشکده فنی مهندسی، دانشگاه آزاد، واحد دورود

چکیده

حذف یون نیکل و کادمیم توسط نانوفولرن-اصلاح شده بصورت تجربی مورد بررسی قرار گرفت. نانوفولرن بکار رفته C_{60} می‌باشد که با اصلاح این نانوذره توسط تتراهیدروفوران می‌توان شرایط بهینه حذف یون نیکل و کادمیم مانند، pH، غلظت جذب شونده، مقدار جاذب، زمان، دما و ... را ارزیابی و بدست آورد. یون کادمیم در غلظت $pH=6$ ppm، مقدار نانوجاذب ۱٪، دما 30°C ، زمان ۹۰ دقیقه دارای بیشترین راندمان جذب معادل 97.04% می‌باشد که برای یون نیکل، $pH=5$ ، مقدار نانو جاذب ۱٪، دما 30°C و زمان ۱۲۰ دقیقه. سپس با استفاده از مدل‌های ایزوتروم جذب، جذب سطحی یون کادمیم دو ظرفیتی توسط نانوجاذب ارزیابی می‌شود، نتایج نشان می‌دهد که ضریب همبستگی مدل‌های ایزوتروم بکار رفته عبارتند از: دایینین-رادوشکویچ > لانگمیر > فریندلیچ > تمکین. بررسی مدل‌های ایزوتروم نشان می‌دهد که جذب فیزیکی، تک لایه و گرمایش افزایش دما میزان جذب کاهش یافته و می‌توان نانوجاذب را بازیافت نمود.

واژه‌های کلیدی: ایزوتروم جذب، یون نیکل و کادمیم، نانوفولرن اصلاح شده، تتراهیدروفوران.

ایمیل نویسنده مسئول: Mahdavian@iau-doroud.ac.ir

۱- مقدمه

آسیب احتمالی به DNA و سرطان اشاره کرد [۴، ۳]. حداکثر مجاز کادمیم در آب آشامیدنی، بر مبنای متوسط مصرف روزانه آب آشامیدنی معادل با ۲/۵ لیتر، برای انسانی به وزن ۷۰ کیلوگرم، 0.05 ppm است [۵]. برای جداسازی و حذف یون‌های فلزی مانند یون کادمیم (Cd^{2+}) روش‌های مختلفی مانند: رسوب‌دهی [۶]، تبدیل یونی [۷]، فرایند-های غشایی [۸]، الکترولیز [۹] و جذب سطحی [۱۰] وجود دارد. جذب سطحی در مقایسه با دیگر روش‌ها به توجه به بازدهی بالا، کنترل آسان و هزینه‌های عملیاتی کمتر می‌تواند یک فرآیند جایگزین مناسب تلقی گردد [۱۱]. فرآیند جذب سطحی به جاذبی با ویژگی‌هایی مانند مساحت سطح ویژه بالا، بازدهی زیاد، عمر و مقاومت مکانیکی مناسب نیاز دارد [۱۲]. مواد جاب باید به آسانی در دسترس بوده و ضمناً ارزان باشند و به سادگی بازیابی شوند. یکی از جاذب‌ها، که در سالهای اخیر نظر دانشمندان را به خود معطوف نموده، نانوفولرن است. نانوفولرن‌ها دارای ابعاد و اندازه-ای متفاوت با خواص شیمیایی منحصر بفرد هستند که پایدارترین و فراوان‌ترین فولرن‌ها اندوگرافی C_{60} هستند. بنابراین بیشتر خواص ذکر شده در مورد نانوفولرن‌ها نیز روی این دو نوع مرکز شده است. برخی از خواص فیزیکی این دو مولکول در جدول ۱ ارائه شده است [۱۳]. نانوفولرن به خاطر ساختار منحصر به فرد کروی، خواص الکترونیکی و کاربردهای مختلفی دارد. فولرن استخراج شده از دوده به عنوان یک محصول جانبی می‌باشد. کاربرد این مواد در تصفیه‌ی آب هنوز گسترش نیافرته است. فولرن استخراج شده از دوده به شکل پودر که شامل گروه آمینو است، توسط

۳- تجزیه و تحلیل نتایج

۱-۳- بررسی و بهینه کردن پارامترهای موثر بر جذب‌سطحی یون کادمیم (II) توسط نانوفولرن

برای تعیین منحنی کالیبراسیون، غلظت‌های متفاوتی از محلول نیترات کادمیم (II) با غلظت‌های ۲، ۴، ۶، ۸، ۱۰ ppm دردمای محیط ۳۰°C تهیه و سپس جذب آنها توسط دستگاه جذب اتمی خوانده و منحنی کالیبراسیون رسم و مقادیر فلز جذب شده به ازای واحد گرم جاذب با رابطه زیر تعیین می‌شود [۱۵]:

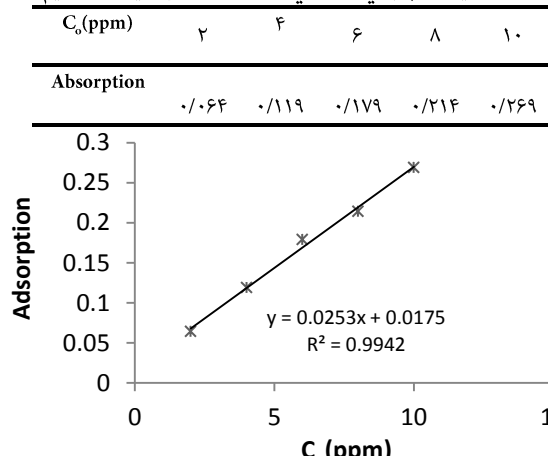
$$q = \frac{V}{m} (C_0 - C_t) \quad (1)$$

در این رابطه q مقدار میلی‌گرم یون فلزی جذب شده بر واحد گرم جاذب (g/m²)، C_0 و C_t (mg/g) به ترتیب غلظت اولیه فلز و غلظت نهایی فلز در زمان t (min) و V حجم محلول (L) و m جرم جاذب استفاده شده (g) می‌باشد. با ترسیم منحنی کالیبراسیون برای نمونه استاندارد و با غلظت‌های مختلف (جذب در برابر غلظت) غلظت نمونه‌های مجهول با اندازه‌گیری جذب آنها و استفاده از نمودار کالیبراسیون قابل محاسبه است. هر چه شبی نمودار کالیبراسیون بیشتر باشد، حساسیت (تغییرات جذب نسبت به غلظت) بیشتر می‌شود. شبی غلظت توسط ضریب جذب تعیین می‌گردد. همچنین با استفاده از رابطه ذیل می‌توان راندمان جذب را محاسبه نمود [۱۶]:

$$\%R = \frac{[(C_0 - C_t)/C_0] \times 100}{(2)}$$

که در این رابطه C_0 غلظت‌های یون فلزی در تعادل بر حسب (mg.L⁻¹) می‌باشد. منحنی کالیبراسیون در شکل ۲ قابل رویت است.

جدول ۲. مقادیر جذب برای غلظت‌های مختلف از محلول نیترات کادمیم (II).



شکل ۲. منحنی کالیبراسیون جذب فلز کادمیم (II) در دمای ۳۰°C.

۲-۳- بررسی اثر pH

۵۰ میلی لیتر محلول نیترات کادمیم (II) با غلظت ۶ ppm را در pH‌های متفاوت به ۰/۱ گرم جاذب نانوفولرن افروده و در دمای محیط و به مدت زمان ۳ ساعت در دستگاه التراسونیک جهت دیسپرس کردن نانوفولرن قرار داده و سپس محلول‌ها را سانتریفیوز و از کاغذ صافی گذرانده و نهایتاً جذب آنها توسط دستگاه جذب اتمی اندازه‌گیری شد. از نتایج حاصل

واکنش دوده با اتیلن دی آمین تهیه شده است، می‌تواند در جذب آلینده‌های آلی مورد ارزیابی قرار بگیرد [۱۴]. علاوه بر جذب آلینده‌ها در جذب ویروس‌های مختلف از جمله HIV مورد ارزیابی قرار می‌گردد. در این تحقیق نیز از آن برای جذب یون‌های فلزات سنگین (کادمیم) مورد ارزیابی قرار می‌گیرد. بررسی اثر پارامترهای مختلفی مانند pH، مقدار جاذب، سرعت همزدن و دما بر فرایند جذب می‌باشد

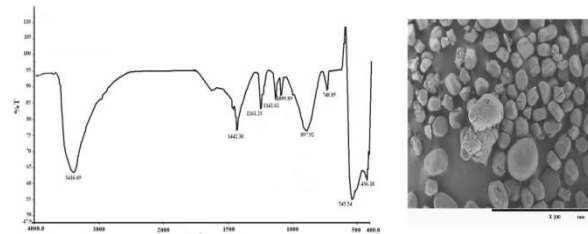
جدول ۱. خواص فیزیکی نانوفولرن‌های C₆₀ و C₇₀.

	C ₆₀	C ₇₀
۴۲/۷	۸۷/۱ × ۱۰ ^{-۲۲} حجم مولکولی (cm ³)	
۵۸/۷	اویلن انرژی یونبرازیون (eV)	۶۱/۷
۴۰/۷	انرژی پیوند اتم‌های کربن (eV)	۴۲/۷
۴۱/۱	متوجه فاصله بین اتم‌های کربن (Å)	۴۲/۱

۲- بخش تجربی یا فعالیتهای آزمایشگاهی همه مواد شیمیایی مورد نیاز با خلوص تجزیه‌ای بالا از شرکت مرک آلمان تهیه شده‌اند که عبارتند از: اسید کلریدریک، هیدروکسید سدیم، اسید نیتریک، نیترات کادمیم (Cd(NO₃)₂)، سایل مورد استفاده برای ارزیابی پارامترها و نتایج آن، دستگاه جذب اتمی مدل ۹۹۰-PG ساخت کشور انگلستان جهت تعیین غلظت یون کادمیم، دستگاه pHmeter metrohm ۸۲۷ مدل DK203 H bandelin ساخت کشور سویس جهت اندازه‌گیری و تنظیم pH محلول‌ها، دستگاه التراسونیک مدل DK203 H bandelin ساخت کشور آلمان جهت دیسپرس کردن نانوفولرن و ترازوی چهار رقم اعشار مدل AND جهت توزین مواد شیمیایی ساخت کشور آلمان.

جهت تهیه محلول حاوی کادمیم از نمک فلزی Cd(NO₃)₂ استفاده و برای تنظیم pH محیط از HCl و NaOH و استفاده شده است. ابتدا یک محلول ۱۰۰۰ ppm از نیترات کادمیم به عنوان محلول استاندارد ساخته و با اسید نیتریک ۵۰ درصد حجمی به حجم رسانده و سپس از این محلول و با استفاده از آب دیونیزه محلول ۱۰۰ ppm ۱۰۰ ppm در انتهای غلظت‌های ۲، ۴، ۶، ۸، ۱۰ ppm برای رسم منحنی کالیبراسیون تهیه گردیده است.

نانوفولرن خریداری شده ساخت کشور اسپانیا، با ۹۹/۹٪ خلوص، وزن مولکولی ۷۲/۰۶۴ گرم، دانسته ۱/۷۲ g.cm^{-۳}، نقطه ذوب و جوش به ترتیب ۲۸۰، ۵۲۷ درجه سانتی‌گراد و شار حرارتی ۰/۴ می‌باشد که طیف FT-IR تصویر STM آن در شکل ۱ قابل رویت است.



شکل ۱. طیف FT-IR از نانوفولرن C₆₀ و تصویر STM.

جدول ۵. نتایج محاسبات مربوط به جذب یون کادمیم (II) در دماهای مختلف.

T(K)	%T	C _e /ppm	%R
۳۰۲	۰/۰۹۱۳	۲/۰۶	۹۶/۳۷
۳۱۳	۰/۰۹۸۲	۲/۲۹	۸۲/۳۷
۳۲۴	۰/۱۰۰۲	۲/۳۶	۷۸/۴۰
۳۳۵	۰/۱۰۲۹	۲/۴۵	۷۳/۷۵
۳۴۶	۰/۱۱۰۱	۲/۶۹	۶۲/۷۵

همانطور که در جدول ۵ مشاهده می‌شود درصد جذب با افزایش دما کاهش می‌یابد که می‌تواند دلالت بر ماهیت فیزیکی جذب سطحی داشته باشد در حقیقت افزایش دما باعث افزایش آنتروپی و سست شدن پیوند میان گونه‌های جذب شونده و جاذب می‌گردد.

۵-۴. بررسی اثر زمان

۵. میلی‌لیتر محلول نیترات کادمیم (II) با غلظت ۶ ppm و pH=۶ را به ۰/۱ گرم از جاذب نانوفولرن افزوده و در دمای ۳۰^۳ کلوین و در زمان‌های متفاوت در دستگاه التراسونیک فرار داده و سپس محلولها را سانتریفیوژ و از کاغذ صافی گذرانده و نهایتاً جذب آنها توسط دستگاه جذب اتمی اندازه‌گیری می‌شود. نتایج بدست آمده نشان داد که بیشترین درصد حذف یون کادمیم دو ظرفیتی توسط جاذب نانوفولرن در مدت زمان ۹۰ دقیقه صورت گرفته است.

جدول ۶. تأثیر زمان ماندگاری نانوجاذب در برابر یون کادمیم (II).

Time/min	%T	C _e /ppm	%R
۱۰	۰/۱۰۸۰	۲/۶۲	۶۵/۸۳
۲۰	۰/۱۰۴۷	۲/۵۱	۷۰/۸۵
۳۰	۰/۰۹۸۱	۲/۲۹	۸۲/۴۳
۴۰	۰/۰۹۳۷	۲/۱۴	۹۰/۹۸
۶۰	۰/۰۹۳۱	۳/۱۲	۹۲/۰۶
۹۰	۰/۰۹۰۸	۳/۰۴	۹۷/۰۴
۱۲۰	۰/۰۹۲۸	۳/۱۱	۹۲/۶۸
۱۸۰	۰/۰۹۳۱	۳/۱۲	۹۲/۳۵

۶-۳. بررسی اثر غلظت

۵. میلی‌لیتر محلول نیترات کادمیم (II) با غلظت‌های متفاوت ولي pH=۶ را به ۰/۱ گرم از جاذب نانوفولرن افزوده و در دمای ۳۰^۳ کلوین و به مدت زمان ۹۰ دقیقه پس از مجاورت نانوجاذب با یون کادمیم، پس از جداسازی، مقدار جذب یون‌های باقی مانده توسط دستگاه جذب اتمی اندازه‌گیری می‌گردد. نتایج بدست آمده نشان داد که با افزایش غلظت درصد جذب کاهش می‌یابد.

مشاهده شد که بیشترین درصد حذف یون کادمیم دو ظرفیتی با استفاده از جاذب نانوفولرن در pH=۶ اتفاق می‌افتد.

جدول ۳. میزان جذب یون کادمیم (II) در pHهای مختلف.

pH	%T	C _e /ppm	%R
۲	۰/۰۹۸۷	۳/۳۱	۸۱/۴۶
۳	۰/۰۹۷۰	۳/۲۵	۸۴/۱۰
۴	۰/۰۹۶۱	۳/۲۲	۸۶/۰۸
۵	۰/۰۹۵۵	۳/۲۰	۸۷/۴۰
۶	۰/۰۹۱۳	۳/۰۶	۹۶/۳۷
۶/۵	۰/۰۹۱۳	۳/۰۶	۹۶/۳۷
۷	۰/۰۹۷۹	۳/۲۸	۸۲/۷۲

۳-۳. بررسی اثر مقدار نانوجاذب

۵. میلی‌لیتر محلول نیترات کادمیم (II) با غلظت ۶ ppm و pH=۶ را به مقدارهای متفاوت از جاذب نانوفولرن بر حسب گرم افزوده و مطابق مراحل قبل میزان جذب یون کادمیم توسط دستگاه جذب اتمی اندازه‌گیری می‌شود. از نتایج حاصل مشاهده شد که بیشترین درصد حذف یون کادمیم دو ظرفیتی با مقدار ۰/۲ گرم از جاذب نانوفولرن رخ داده که در جدول ۴ قابل رویت است. با توجه به نزدیک بودن راندمان جذب برای مقادیر ۰/۱ گرم جاذب با ۰/۲ و بحث مقرر به صرفه بودن روش، مقدار بهینه نانوجاذب را ۰/۱ گرم در نظر می‌گیریم.

جدول ۴. راندمان جذب یون کادمیم (II) با مقدارهای متفاوت از جاذب نانوفولرن.

m/g	%T	C _e /ppm	%R
۰/۰۲	۰/۱۰۶۳	۳/۶۳	۶۵/۴۲
۰/۰۵	۰/۱۰۶۵	۳/۵۷	۶۸/۰۵
۰/۱	۰/۰۹۱۳	۳/۰۶	۹۶/۳۷
۰/۲	۰/۰۹۰۸	۳/۰۴	۹۷/۰۴
۰/۳	۰/۰۹۰۸	۳/۰۴	۹۷/۰۴

۴-۳. بررسی اثر دما

۵. میلی‌لیتر محلول نیترات کادمیم (II) با غلظت ۶ ppm و pH=۶ را به ۰/۱ گرم از جاذب نانوفولرن افزوده و در دماهای متفاوت پس از مجاورت با یون کادمیم و اندازه‌گیری جذب مقدار یون باقی مانده در محیط، نتایج بدست آمده نشان داد که بیشترین درصد حذف یون کادمیم دو ظرفیتی توسط جاذب نانوفولرن در دمای ۳۰^۳ کلوین اتفاق افتاده است.

نشان دهنده قدرت جذب ($mg.g^{-1}$), n ثابت تعادل فرندیچ که نشان دهنده انرژی پیوندی یون فلز و جاذب، b_7 ثابت ایزووترم تکین، A_T ثابت پیوند تعادل ایزووترم تکین ($l.g^{-1}$), R ثابت عمومی گازها، T دمای جذب، q_s میزان اشباع یون جذب شده و K_{ad} ثابت ایزووترم دابینین-رادشوکویچ ($mol^2.kJ^{-2}$) که متوسط انرژی آزاد E برای واجدب مولکول های جذب شده ($kJ.mol^{-1}$)

$$B_{DR} = \frac{1}{\sqrt{2B_{DR}}} \quad E = \left[\frac{1}{\sqrt{2B_{DR}}} \right] (kJ.mol^{-1})$$

ثابت هم دمای ایزووترم دابینین-رادشوکویچ است. یکی از پارامترهای مهم در مدل ایزووترم لانگمیر، پارامتر R_L می باشد، که اگر مقدار R_L بزرگتر از یک باشد فرآیند جذب غیرمطلوب و اگر بین یک و صفر باشد فرآیند جذب به صورت مطلوب رخداده است [۲۳]. چهار احتمال برای مقدار R_L وجود دارد.

i: برای جذب سطحی مطلوب $1 < R_L < 0$, ii: برای جذب سطحی نامطلوب $1 > R_L > 0$, iii: برای جذب سطحی خطی $1 = R_L$, iv: برای جذب سطحی برگشت ناپذیر $= R_L = 0$.

معادله همدماهی فرندیچ هیچگونه پیش بینی در مورد اشباع سطح جاذب با ماده جذب شونده ارائه نمی دهد. بنابراین با این همدماهی جذب، ایجاد یک پوشش سطحی نامحدود و جذب چند لایه ای بر سطح قابل پیش بینی است [۲۴]. همدماهی تکین نوعی همدماهی جذب سطحی است که اغلب برای جذب سطحی روی سطوح جامد به کار برده می شود. در واقع این نوع همدما از تئوری نیروی الکترواستاتیک بین ملکولی مشتق شده است. همدماهی جذب سطحی دوبینین-رادشوکویچ عمدتاً برای توصیف رفتار جذب فلزات سنگین بر سطح جاذب های طبیعی مورد استفاده قرار می گیرد. پتانسیل جذب سطحی به دما بستگی دارد ولی باید توجه داشت که تغییر در طبیعت ماده جذب شونده و ماده جاذب نیز باعث تغییر در آن می شود. اندازه گیری این انرژی، با توجه به این نوع تک دمای جذب می توان شاخص مناسبی برای تعیین نوع جذب بدست آورد. به طوریکه اگر انرژی جذب کمتر از $1 kJ.mol^{-1}$ باشد، جذب را می توان از نوع فیزیکی دانست. در صورتیکه انرژی جذب بین 8 تا $16 kJ.mol^{-1}$ باشد، نوع جذب را می توان بواسیله ساز و کار تعویض یونی در نظر گرفت و اگر انرژی جذب بیشتر از $16 kJ.mol^{-1}$ باشد ساز و کار جذب یک ساز و کار شیمیایی قوی تر از تعویض یونی می باشد [۲۵].

۴- نتیجه گیری

جذب سطحی یون کادمیم (II) توسط نانوفولرن در شرایط بهینه $1/40.0$ گرم جاذب، غلظت یون کادمیم $6 ppm$ ، مدت زمان 90 دقیقه، $pH=6$ و دمای $K = 303$ بیشترین درصد حذف یون کادمیم (II) را نشان می دهد که معادل $97/0.4$ % می باشد. همدماهی جذب سطحی یون کادمیم (II) توسط نانوفولرن برتری مدل دابینین-رادشوکویچ را با داشتن ماکریزم رگرسیون ($R^2 = 0.989$)، نسبت به سایر مدلها است. ماکریزم طرفیت جذب با استفاده از مدل لانگمیر برابر با $1/261 mg.g^{-1}$ به دست آمده است و مقادیر فاکتور جدادسازی در غلظت های متفاوت اولیه، مطلوب بودن فرآیند را نشان داد. با توجه به مقدار انرژی پتانسیل بدست آمده از مدل دابینین-رادشوکویچ، جذب یون کادمیم بر روی نانوفولرن C_{60}

جدول ۷. راندمان جذب یون کادمیم (II) در غلظت های مختلف از محلول نیترات کادمیم (II) بر روی $1/40.0$ گرم نانوفولرن در مدت زمان 90 دقیقه، $pH=6$ و دمای $30^{\circ}C$ کلوین.

C_o/ ppm	%T	C_e/ ppm	$q_e/mg.g^{-1}$	%R
۲	۰/۰۹۹۸	۱/۱۱۶	۰/۴۷۴	۷۹/۲۵
۴	۰/۰۹۵۸	۲/۱۴۰	۰/۷۵۸	۸۶/۹۱
۶	۰/۰۹۰۸	۳/۰۴۱	۱/۰۷۱	۹۷/۰۴
۸	۰/۰۹۴۳	۴/۲۱۴	۱/۰۷۶	۸۹/۸۳
۱۰	۰/۰۹۷۲	۵/۲۹۲	۱/۱۱۲	۸۸/۹۷

۷-۳- مدل های جذب

برای ارزیابی ایزووترم های جذب یون کبات بر روی نانوفولرن، غلظت های متفاوت از این یون را در شرایط بهینه: $pH=6$ ، دمای $30^{\circ}C$ کلوین در برابر $1/40.0$ گرم جاذب قرار داده و میزان جذب آن را توسط دستگاه جذب اقی اندازه گیری می فرمایم. جهت تحلیل و ارزیابی ایزووترم های جذب جاذب ها از مدل های لانگمیر [۱۷]، فرندیچ که برای جذب روی سطح ناهمگن معتبر است [۱۸]، تکین به برهمکنش جاذب و جذب شونده مرتبط است و تابع دمای محیط است [۱۹، ۲۰] و دابینین-رادشوکویچ، بطور کلی به مکانیسم جذب با یک تابع توزیع گوسی بر روی سطوح ناهمگن بیان می شود که بیشتر برای حل شونده های بسیار فعال با غلظت های متوسط سازگار است [۲۱، ۲۲]. برای جذب تک لایه ای روی سطوح با تعداد محدودی از موقعیت های جذب یکسان، بکار می رود. تمامی روابط این مدل ها در جدول ۸ قابل رویت است.

جدول ۸. معادلات ایزووترم بکار رفته در بررسی جذب یون کادمیم توسط نانوفولرن.

مدل	وابطه خطی	وابطه اصلی
لانگمیر	$q = (q_m.K_L C)/(1+K_L C)$ $R_L = \frac{1}{1+C_o K_L}$	$q_m = 1/261 mg.g^{-1}$ $K_L = 1/522 L.mg$ $R^2 = 0.989$ $R_L = 1/444$
فرندیچ	$q = KC^{\frac{1}{n}}$	$n = 2/524$ $K = 1/575 g.L^{-1}$ $R^2 = 0.812$
تکین	$q = \frac{RT}{b_T} \ln(A_T C)$	$b_T = -1341 J.mol^{-1}$ $A_T = 4/5 L.g^{-1}$ $R^2 = 0.95$
ایزووترم- دابینین- رادشوکویچ	$q = q_s \exp(-K_{ad} \varepsilon^2)$ $E = RT \ln \left[1 + \frac{1}{C} \right]$ $E = \frac{1}{\sqrt{2B}}$	$\beta = 1^{-2} mol^2.kJ^{-2}$ $q_s = 1/19 mg.g^{-1}$ $E = 1/194 kJ.mol^{-1}$ $R^2 = 0.989$

که در روابط فوق، q میزان یون جذب شده توسط جاذب ($mg.g^{-1}$), C_o غلظت باقیمانده و اولیه فلز در محلول ($mg.l^{-1}$), K_L ثابت تعادل لانگمیر وابسته به انرژی جذب ($l.mg^{-1}$), q_m میزان یون فلز مورد نیاز برای تشکیل یک لایه ($mg.g^{-1}$), K ثابت ایزووترم فرندیچ که

20. C. Aharoni; M, Ungarish; J. Chem. Soc. Faraday Trans. 73: 456–464, (1977).
21. A. Gunay; E, Arslankaya; I, Tosun; J.Hazard. Mater. 146: 362–371, (2007).
22. A, Dabrowski; Adv. Colloid Interface Sci. 93: 135-224, (2001).
23. A.O, Dada; A.P, Olalekan; A.M, Olatunya; O, Dada; Langmuir, Freundlich, Temkin and Dubinin-Radushkevich, IOSR Journal of Applied Chemistry. 3: 38-45, (2012).
24. V, Vimonses; S, Lei; B, Jin; C.W.K, Chow; C, Saint; Chemical Engineering Journal. 148: 354-364, 2009.
25. R, Sakurovs; S, Day; S, Weir; G, Duffy; Energy Fuels. 2(2): 992-997, 2007.

فیزیکی می باشد که می توان با استفاده از افزایش دما یون جذب شده را پس از تصفیه ساب، جدا نمود و نانوجاذب را بازیافت و مجدد به پروسه حذف آلینده از پساب برگرداند، داده های جدول ۵ نشان می دهد با افزایش دما، راندمان حذف آلینده کاهش می یابد که مصداقی بر این مطلب است.

۵- منابع

1. U, Kumar; M, Bandypadhyay; Bioresource Technology. 97: 104-109, (2006).
2. M, M, Radhi; M, R, Jobayr; E, M, Taqi Salman; T, W,Tee; Australian Journal of Basic and Applied Sciences. 6(9): 357-363, (2012).
3. I, Mobasherpour; E, Salahi; M, Pazouki; Arabian Journal of Chemistry. 5(4):439-446, (2012).
4. Q, Wei; B, Juanjuan; T, Longlong; L, Zhan; L, Peng; and W, Wangsuo; BioMed Research International. 463161, 8, (2014).
5. M.S.M, Li; F.P, Filice; J.D, Henderson; and Z, Ding. *J. Phys. Chem. C*. 120 (11): 6094–6103, (2016).
6. B.H, Devmunde; A.V, Raut; S.D, Birajdar; S.J, Shukla; D.R, Shengule; and K.M, Jadhav Journal of Nanoparticles. Article ID 4709687, 8, (2016).
7. S.S, Rahangdale; Journal of Chemical and Pharmaceutical Research. 4(11): 4830-4835, (2012).
8. M.C.D, Khabibi and I,Ulumudin; OP Conf. Series: Materials Science and Engineering. 172: 012-032, (2017).
9. M.M, Radhi; W.T, Tan; M.Z.B Ab Rahman; A.B, Kassim; Int. J. Electrochem. Sci., 5: 254-266, (2010).
10. T, Nakagawa; K, Kokubo; H, Moriwaki; Journal of Environmental Chemical Engineering. 2: 1191-1198, (2014).
11. P, Tan; J, Wen; Y, Hu and X, Tan; RSC Adv. 6: 79641-79650, (2016).
12. L, Mahdavian; Russian Journal of Applied Chemistry. 89(9): 1528–1535, (2016).
13. L.A, Rochford; T.S, Jones; and C.B, Nielsen; *J. Phys. Chem. Lett.* 7(17):3487-3490, (2016).
14. D, Zhao; J, Ning; S, Li; M, Zuo Journal of Nanomaterials. 2016: Article ID 5923975, 7, (2016).
15. R, Valizadeh; L, Mahdavian; Int J Phytoremediation. 18(4): 329-36, (2016).
16. A, Almasi Nahnaji; L, Mahdavian; Environmental Health Engineering. 3(2): 129-142, (2016).
17. I, Langmuir; Journal American Chemical Society. 38: 2221-2295, (1916).
18. H.M.F, freundlich; übe, 57: 385-470, (1906).
19. M.I, Tempkin; V, Pyzhev; Acta Phys. Chim. USSR. 12: 327–356, (1940).